UVC 法を用いた拍動下における頸動脈ファントム中の脂肪領域の検出

Detection of fat area in a carotid artery phantom using ultrasonic velocity-change method <sup>1</sup> 阪府大院・工, <sup>2</sup>TU 技術研究所 <sup>○</sup>犬塚裕哉 <sup>1</sup>, 亀田雅伸 <sup>1</sup>, 坪井新 <sup>1</sup>, 松山哲也 <sup>1</sup>, 和田健司 <sup>1</sup>, 岡本晃一 <sup>1</sup>, 松中敏行 <sup>2</sup>, 堀中博道 <sup>1</sup>

<sup>1</sup>Osaka Pref. Univ., <sup>2</sup>TU Research Laboratory ○Y. Inuzuka<sup>1</sup>, M. Kameda<sup>1</sup>, A. Tsuboi<sup>1</sup>, T. Matsuyama<sup>1</sup>, K. Wada<sup>1</sup>, K. Okamoto<sup>1</sup>, T. Matsunaka<sup>2</sup>, H. Horinaka<sup>1</sup>

E-mail: inuzuka0617@pe.osakafu-u.ac.jp

## 1. はじめに

我々は、不安定プラークの非侵襲な検出をめざして、超音波速度変化法(Ultrasonic Velocity-Change Method, UVC法)の適用について調べてきた。UVC法は、時間差を設けて取得した2枚の超音波エコー画像間の差分情報から温度変化を読み出し、生体内の脂肪領域を検出する手法であるため、拍動や手振れによるエコー信号の位置ずれは、測定精度に強く影響する。そこで、Mモード波形の利用を提案し、拍動の影響を抑制して1次元UVC波形を取得することに成功した<sup>1)</sup>。今回は、同様の手法により、UVC画像の描出を行ったので報告する。

## 2. 実験

10 cm 立方の生体ファントムの上面から 15 mm の深さに直径 10 mm の穴を貫通させ、羊 腸で包んだ牛脂を疑似不安定プラークとして 穴の中央付近の下部に挿入することにより頸 動脈ファントムを作製した.この試料を水槽内 に設置し、拍動ポンプを用いて貫通穴に 500 mL/min の割合で水を流し血流を模擬した. こ の条件で, 試料の上面に氷水入りのアイスパッ クを設置し15分間冷却した.その後,アイス パックを超音波アレイトランスデューサに置 き換えて, 温度緩和 (上昇) 時の超音波エコー 動画を2分間に渡り連続取得した.エコー動画 を 900 枚の B モード静止画像に分解し, 近接 の画像間に正規化相互相関を施し相関値を求 めた結果を Fig. 1 に示す. 拍動により相関値が 急激に低下する極小値が周期的に生じている が,極小値間には拍動の影響をあまり受けてい ないと思われる極大が存在する. そこで, 相関 値にしきい値を設け、しきい値以上の相関値をもつ画像間でUVC画像を複数枚描出し、それらを積算することにより拍動の影響を抑制したUVC画像の構築をめざした.

## 3. 結果

Fig. 2 に実験結果を示す. 基準・比較画像間に大きな時間差  $(70 \, \Phi)$  を設けて UVC 画像を構築した従来法(a)では、拍動の影響によるエラーのため、組成判別が困難になっている. 一方、上記の手法により 250 枚の UVC 画像を積算した今回の改善法(b)では、疑似プラーク部が青色(温度上昇に伴い超音波速度が遅くなる脂肪領域、温度変化量 0.6 °C) で高コントラストに表示されており、拍動の影響は効果的に抑制されている.

1) Proc. of Symp. on USE, 39, 3P5-19 (2018).

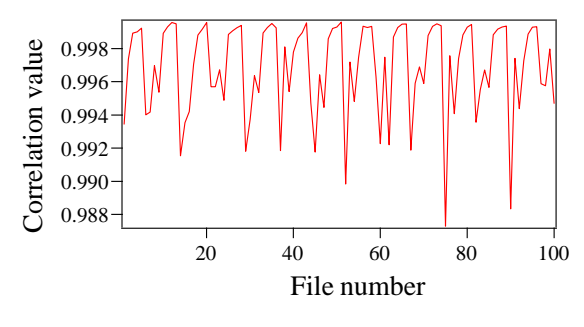


Fig. 1. Zero-mean normalized cross-correlation between adjacent B-mode images.

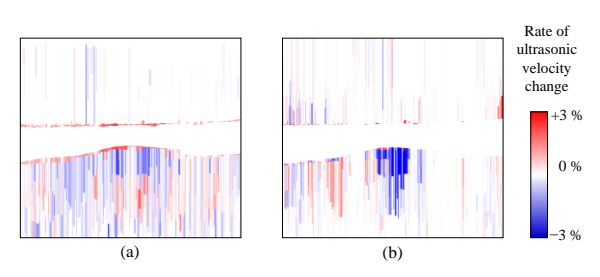


Fig. 2. (a) Conventional and (b) improved UVC images of a carotid artery phantom.